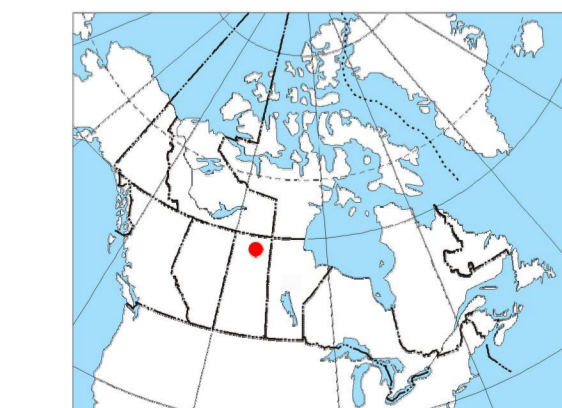


This airborne geophysical survey and the production of this map were funded by the Saskatchewan Ministry of Energy and Resources and the GEM-Energy Program of the Earth Sciences Sector, Natural Resources Canada.

Ce levé géophysique aéroporté et la production de cette carte ont été financés par le ministère de l'Énergie et des Ressources de la Saskatchewan et le programme GEM-Energie du Secteur des sciences de la Terre, Ressources naturelles Canada.



Authors: Fortin, R., Coyle, M., Buckle, J., Hefford, S.W. and Delaney, G.

Data acquisition, compilation and map production by Géodisk Airborne Survey, Saskatoon, Saskatchewan. Contract and project management by the Geological Survey of Canada, Ottawa, Ontario.

GSC OPEN FILE 6784 / DOSSIER PUBLIC 6784 DE LA CGC / SMER OPEN FILE 2011-19

GEOPHYSICAL SERIES / SÉRIE DES CARTES GÉOPHYSIQUES / AIRBORNE GEOPHYSICAL SURVEY OF THE NORTHWESTERN ATHABASCA BASIN, SASKATCHEWAN / LEVÉ GÉOPHYSIQUE AÉROPORTÉ DE LA PARTIE NORD-OUEST DU BASSIN ATHABASCA, SASKATCHEWAN

NTS 74 J/10 Birkbeck Lake / SNRC 74 J/10 Birkbeck Lake

RESIDUAL TOTAL MAGNETIC FIELD / COMPOSANTE RÉSIDUELLE DU CHAMP MAGNÉTIQUE TOTAL

Auteurs: Fortin, R., Coyle, M., Buckle, J., Hefford, S.W. et Delaney, G.

L'acquisition, la compilation des données ainsi que la production des cartes furent effectuées par Géodisk Airborne Survey, Saskatoon, Saskatchewan. La gestion et la supervision du projet furent effectuées par la Commission géologique du Canada, Ottawa, Ontario.

Universal Transverse Mercator Projection / Projection transverse universelle de Mercator

Digital topographic data provided by Geomatics Canada, Natural Resources Canada / Données topographiques numériques de Géomatique Canada, Ressources naturelles Canada

NORTHWESTERN ATHABASCA BASIN GEOPHYSICAL SURVEY, SASKATCHEWAN

Introduction

A quantitative gamma-ray spectrometric and aeromagnetic airborne geophysical survey of the Northwestern Athabasca Basin, Saskatchewan, was completed by Géodisk Airborne Survey. The survey was flown from June 24th to September 21st, 2010 using two Piper PA-31 Navajo aircraft (C-GJBA, C-GJBB) and one Cessna Caravan (C-GLDX).

Gamma-ray Spectrometric Data

The airborne gamma-ray measurements were made with a Radiation Solutions RS-500 gamma-ray spectrometers using fourteen 102x102x406 mm NaI (Tl) crystals. The main detector array consisted of twelve crystals (total volume 50.4 litres), shielded by the main array, were used to detect variations in background radiation caused by atmospheric radon.

Potassium is measured directly from the 1460 keV gamma-ray photons emitted by K<sup>40</sup>, whereas uranium and thorium are measured indirectly from gamma-ray photons emitted by daughter products (Bi<sup>214</sup> for uranium and Th<sup>232</sup> for thorium). Although these daughters are far down their respective decay chains, they are assumed to be in equilibrium with their parents.

Gamma-ray spectra were recorded at one-second intervals. Data processing followed standard procedures as described in IAEA, 1991 and IAEA, 2003. During processing, the spectra were energy calibrated, and counts were accumulated into the windows described above. Counts from the radon detectors were recorded in a 1600-1800 keV window and radiation at energies greater than 3000 keV was recorded in the cosmic window.

Table 1 Gamma Ray Spectrometer Sensitivities for each aircraft. Columns: C-GJBA, C-GJBB, C-GLDX. Rows: Potassium (cps%), Uranium (cpdppm), Thorium (cpdppm).

Corrected data were filtered and interpolated to a 100 m grid interval. The results of an airborne gamma-ray spectrometer survey represent the average surface concentrations that are influenced by varying amounts of outcrop, overburden, vegetation cover, soil moisture and surface water.

Magnetic Data

The magnetic field was sampled 10 times per second using a split-beam cesium vapour magnetometer (sensitivity = 0.005 nT) rigidly mounted to the aircraft. Differences in magnetic values at the intersections of control and traverse lines were computer-analysed to obtain a mutually levelled set of flight-line magnetic data.

The first vertical derivative of the magnetic field is the rate of change of the magnetic field in the vertical direction. Computation of the first vertical derivative removes long wavelength features of the magnetic field and significantly improves the resolution of closely spaced and subdued anomalies.

LEVÉ GÉOPHYSIQUE DE LA PARTIE NORD-OUEST DU BASSIN ATHABASCA, SASKATCHEWAN

Introduction

Un levé géophysique aéroporté combinant l'acquisition de données de spectrométrie gamma et de données magnétique a été réalisé dans la partie nord-ouest du bassin de l'Athabasca en Saskatchewan par la société Géodisk Airborne Survey. Le levé a été effectué du 24 juin au 21 septembre 2010, à bord de deux avions Piper PA-31 Navajo (C-GJBA, C-GJBB) et d'un Cessna Caravan (C-GLDX).

Données de spectrométrie gamma

Les mesures du rayonnement gamma ont été effectuées à l'aide d'un spectromètre gamma Radiation Solutions RS-500 utilisant quatorze cristaux de NaI (Tl) de 102x102x406 mm. Le réseau de capteurs principal se compose de douze cristaux (volume total de 50,4 litres). Deux cristaux (volume total de 5,4 litres), protégés par le réseau principal, ont été utilisés pour détecter les variations du rayonnement naturel causées par le radon atmosphérique.

Le potassium est mesuré directement à partir des photons gamma de 1 460 keV émis par le K<sup>40</sup>, tandis que l'uranium et le thorium sont mesurés indirectement à partir des photons gamma émis par des produits de désintégration (Bi<sup>214</sup> pour l'uranium et Th<sup>232</sup> pour le thorium). Bien que ces radionucléides de filiation se trouvent loin dans leur chaîne respective de désintégration, on presume qu'ils sont en équilibre avec leur radionucléide père.

Les spectres du rayonnement gamma ont été enregistrés à intervalle d'une seconde. Le traitement des données a suivi les procédures standards décrites dans IAEA, 1991 et IAEA, 2003. Pendant le traitement, les spectres ont été soumis à un étalonnage énergétique et les coups ont été cumulés dans les plages décrites ci-dessus. Les coups obtenus à l'aide des capteurs de radon ont été enregistrés dans la plage de 1 600 à 1 800 keV et le rayonnement au-dessus de 3 000 keV a été enregistré dans la plage du rayonnement cosmique.

Tableau 1. Sensibilités des spectromètres de chacun des avions. Colonnes: C-GJBA, C-GJBB, C-GLDX. Rows: Potassium (cps%), Uranium (cpdppm), Thorium (cpdppm).

Tableau 1. Sensibilités des spectromètres de chacun des avions.

Les résultats d'un levé aéroporté de spectrométrie gamma représentent les concentrations moyennes à la surface. Celles-ci sont influencées par les étendues variables des affleurements, des monts-terrains, de la couverture végétale et de l'eau de surface.

Données sur le champ magnétique

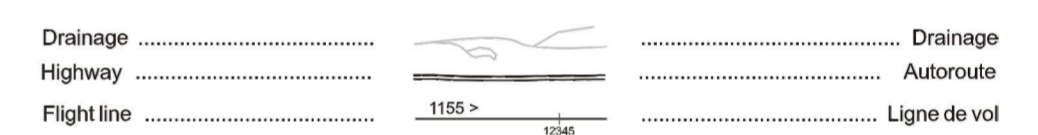
Le champ magnétique a été échantillonné 10 fois par seconde à l'aide d'un magnétomètre à vapeur de césium à faisceau partagé (sensibilité = 0,005 nT) rigidement fixé à l'avionnet. Les différences de valeur du champ magnétique aux intersections des lignes de contrôle et des lignes de levé ont été analysées afin d'obtenir un ensemble de données sur le champ magnétique mutuellement nivelées sur les lignes de vol.

La dérivée première verticale du champ magnétique représente le taux auquel varie le champ magnétique suivant la verticale. Le calcul de la dérivée première verticale supprime les composantes de grande longueur d'onde du champ magnétique et améliore considérablement la résolution des anomalies rapprochées les unes des autres ou superposées.

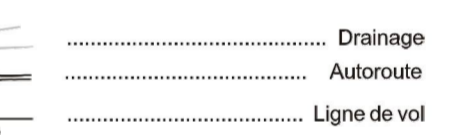
Références / Références

- Hood, P.J. 1985. Gradient measurements in aeromagnetic surveying. Geophysics, v.30, p.891-902.
International Atomic Energy Agency, 1991. Airborne gamma ray spectrometer surveying. Technical Reports Series 323, IAEA, Vienna.
International Atomic Energy Agency, 2003. Guide lines for radiometric mapping using gamma ray spectrometry data. Technical Reports Series 1363, IAEA, Vienna

PLANIMETRIC SYMBOLS



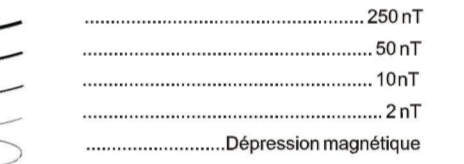
SYMBOLS PLANIMÉTRIQUES



ISOMAGNETIC LINES



LIGNES ISOMAGNÉTIQUES



MAP SHEET SUMMARY / SOMMAIRE DES FEUILLETS

- 1. Natural Air Absorbed Dose Rate
2. Potassium
3. Uranium
4. Thorium
5. Uranium / Thorium
6. Uranium / Potassium
7. Thorium / Potassium
8. Terrain Radiometric Map
9. Diagramme ternaire des radionucléides
10. Residual Total Magnetic Field
11. Composante résiduelle du champ magnétique total
12. First Vertical Derivative of the Magnetic Field
13. Dérivée première verticale du champ magnétique

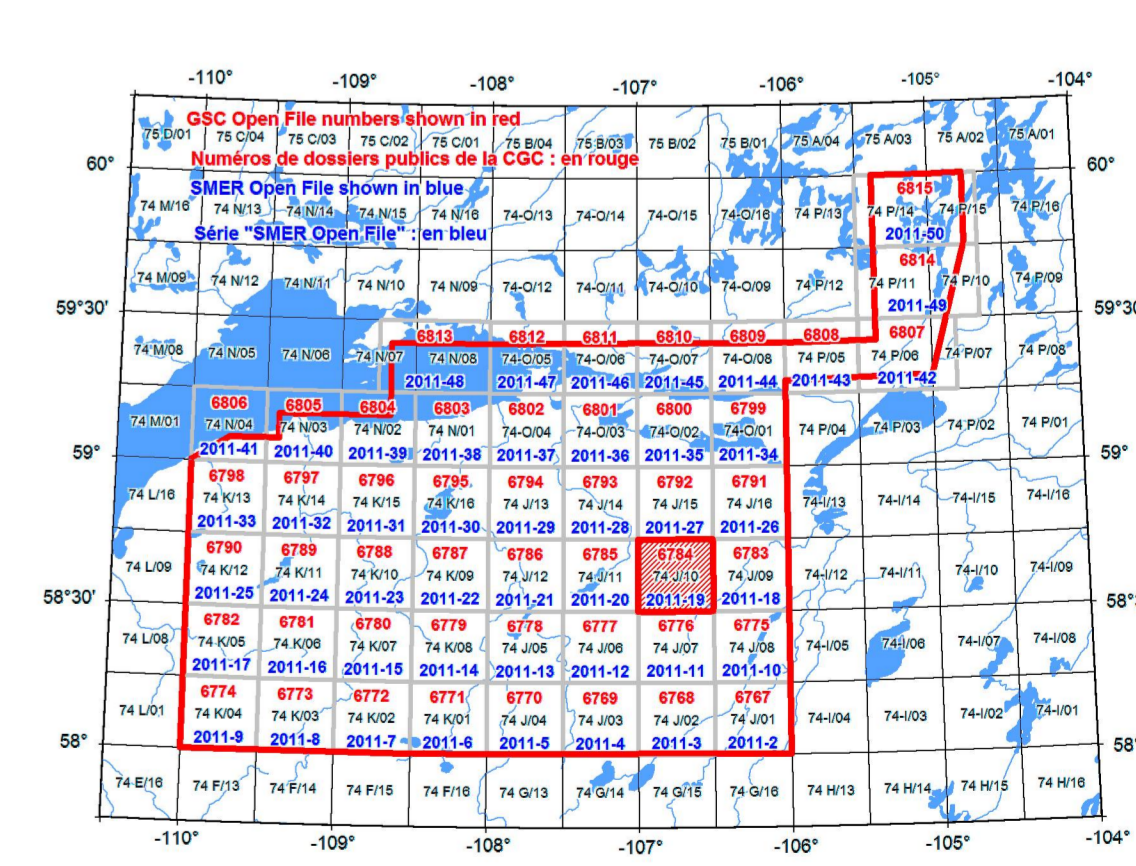
OPEN FILE 2011-19

2011 SHEET 9 OF 10 / FEUILLET 9 DE 10

OPEN FILE DOSSIER PUBLIC 6784

2011 SHEET 9 OF 10 / FEUILLET 9 DE 10

NATIONAL TOPOGRAPHIC SYSTEM REFERENCE AND GEOPHYSICAL MAP INDEX / SYSTÈME NATIONAL DE RÉFÉRENCE CARTOGRAPHIQUE ET INDEX DES CARTES GÉOPHYSIQUES



AIRBORNE GEOPHYSICAL SURVEY OF THE NORTHWESTERN ATHABASCA BASIN, SASKATCHEWAN / LEVÉ GÉOPHYSIQUE AÉROPORTÉ DE LA PARTIE NORD-OUEST DU BASSIN ATHABASCA, SASKATCHEWAN

Recommended citation: Fortin, R., Coyle, M., Buckle, J., Hefford, S. and Delaney, G., 2011.

Airborne Geophysical Survey of the Northwestern Athabasca Basin, Saskatchewan, NTS 74 J/10, Birkbeck Lake; Geological Survey of Canada, Open File 6784; Saskatchewan Ministry of Energy and Resources (SMER), Open File 2011-19; scale: 1:50 000.

Notation bibliographique conseillée: Fortin, R., Coyle, M., Buckle, J., Hefford, S. et Delaney, G., 2011. Levé géophysique aéroporté de la partie nord-ouest du bassin Athabasca, Saskatchewan, SNRC 74 J/10, Birkbeck Lake; Commission géologique du Canada, Dossier public 6784; Ministère de l'Énergie et des Ressources de la Saskatchewan (SMER), Open File 2011-19; échelle 1:50 000.